

研究速報

速度が引張速度より大であったためと考えられる。

Fig. 6, Fig. 7 は応力がおのの 5 kg/mm^2 , 3 kg/mm^2 で 600°C の場合におけるクリープ破断時間と Al_2O_3 % との関係を図示したものである。この図から、 $\text{Fe-Al}_2\text{O}_3$ 合金の耐クリープ特性は、鉄粉単味の場合よりもはるかに優れていることがわかる。また、鉄粉単味の場合には通電量の増加と共に耐クリープ特性も良好となるが、 $\text{Fe-Al}_2\text{O}_3$ 合金の場合にはまったく逆の現象を示している。この原因は、前述の Al_2O_3 粉の鉄粉粒子周囲への付着による影響と同時に、通電量が大きいときには焼結体内部に溶融部、焼結部および未焼結部を生じ、焼結組織が不均一になることも、影響をおよぼしているものと考えられる。

Fig. 8, Fig. 9 は応力がおのの 5 kg/mm^2 , 3 kg/mm^2 で、 600°C のクリープ時におけるひずみ速度におよぼす Al_2O_3 含量の影響を示したものである。この図によれば、鉄粉単味の場合のひずみ速度はきわめて大きいが、 Al_2O_3 含量の増加と共にひずみ速度は次第に減少することがわかる。

(1970年12月17日受理)

参考文献

- 1) 坂井、原： 粉体粉末冶金協会昭和42年度春季大会講演概要集, 22-23
- 2) 同上： 生産研究, 第20巻, 第7号, 367-369
- 3) 同上： 粉体粉末冶金協会昭和45年秋季大会講演概要集, 52-53
- 4) 坂井： 金属材料, Vol. 10, No. 11, Nov. (1970), 56-67
- 5) B. Bovarnick, H. W. Flood, Progress in Powder Metallurgy, (1964), 20, 64-81

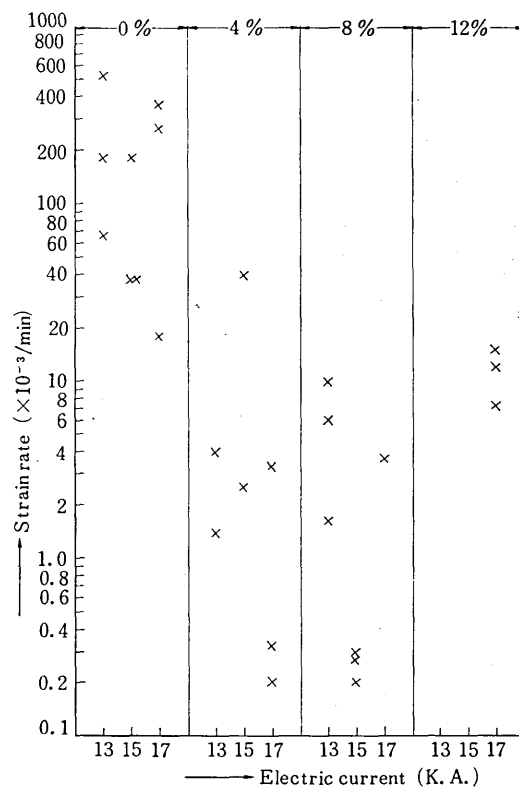


Fig. 9. The dependence of strain rate on the Al_2O_3 contents. (Stress 3 kg/mm^2)

- 6) A. Gatti, Trans. AIME, (1959), 215, 753
- 7) L. J. Bonis, N. J. Grant, Trans. AIME, (1960), 218, 877
- 8) 足立, 高橋, 林: 日金誌, (1962), 26, 219-223

2月号正誤表

ページ	段	行	種別	正	誤
14	左	下 18	本文	もちこんだところに	もちこちだところに
16	右	" 3	参考文献	9) R. L. Arnett	9) R. L. Arnett
17	左		脚注	第4部	第5部
25	"	下 21~20	本文	平衡関係, 速度などに依存し,	平衡関係な係, 速どに依存し,